

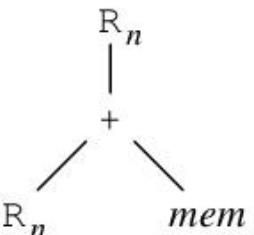
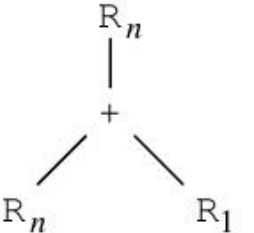


# BURS-Codegenerierung

- **bisher behandelte Codegenerierungs-Verfahren**
  - Einschränkung (!) der Optimierungsdomäne: Übersetzung von IR(Zwischencode)-Knoten 1:1 in Maschinenbefehle
  - gewichtete Bäume (evtl. mit Spilling): exakt, aber nur für Bäume
  - Leitersequenzen: auch für andere DAGs, aber nur Heuristik
- **neues Verfahren: BURS (Bottom-Up Rewrite Systems)**
  - Abbildung mehrerer IR-Knoten auf einen Maschinenbefehl
  - Einschränkung auf Bäume
  - führt zu einer optimalen Befehlsfolge für Bäume, wenn keine Kompromisse wegen Komplexität gemacht werden
  - Komplexität bei CISC-Prozessoren durch
    - Kombinationen möglicher Befehle (einige hundert) und Adressierungsarten (10 und mehr)
    - weitere Vervielfachungen (z.B. durch Kommutativität)

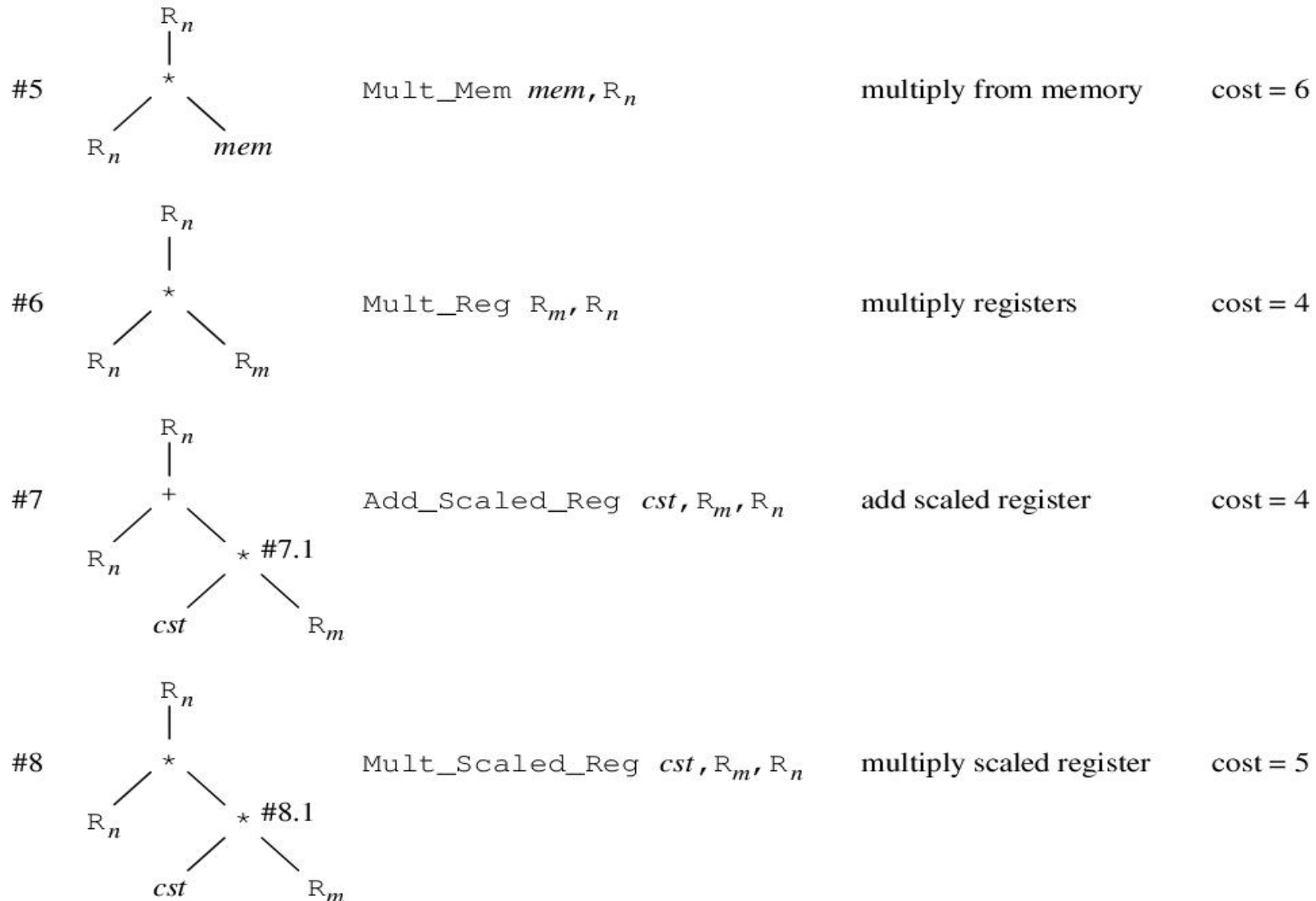
# Pattern-Trees (1)

- jeder Befehlstyp (Kombination Operation, Operandentyp, etc.) modelliert durch Pattern-Tree (PT) und Kosten:

#1		Load_Const $cst, R_n$	load constant	cost = 1
#2		Load_Mem $mem, R_n$	load from memory	cost = 3
#3		Add_Mem $mem, R_n$	add from memory	cost = 3
#4		Add_Reg $R_1, R_n$	add registers	cost = 1

## Pattern-Trees (2)

- Überdeckung des IR-Trees durch Pattern-Trees mit minimalen Gesamtkosten gesucht (Bsp.: #1/#5/#6 vs. #8)



# Beispielbefehlssatz / realer Prozessor

- **Beispielbefehlssatz**

- drei Operandentypen:

  - `mem`: Speicher, `cst`: Konstante, `reg`: Register

- ein Ergebnistyp:

  - `reg`: Register

- zwei Spezialbefehle mit mehr als einer Operation (**scaled**)

- Knoten der Pattern-Trees enthalten Markierungen

- **realer Prozessor**

- Kosten sind Funktion, nicht eine Konstante

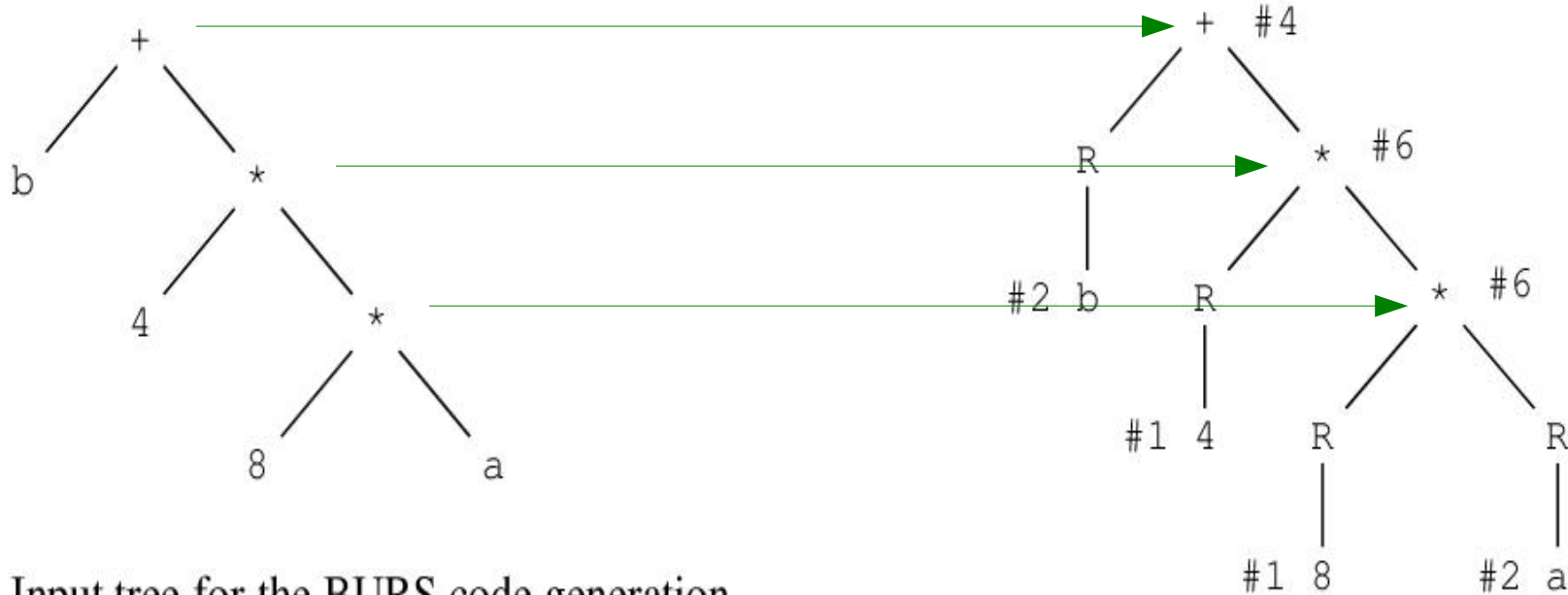
  - (z.B. geringere Kosten für #7, #8 bei `cst=1,2,4`)

- Spezialbefehle billiger als Sequenz einfacher Befehle

- in der Realität weit mehr Spezialbefehle

# Eingabebaum / naive Übersetzung

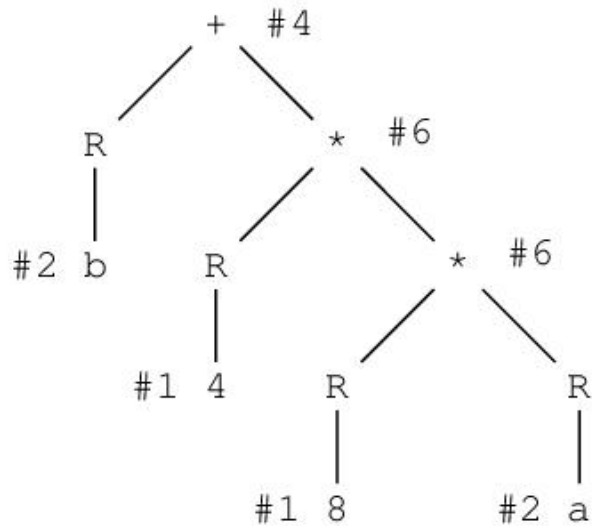
- bisher: 1:1-Umsetzung der IR-Knoten:



**Figure 4.61** Input tree for the BURS code generation.

**Figure 4.62** Naive rewrite of the input tree.

# Kosten durch die naive Übersetzung

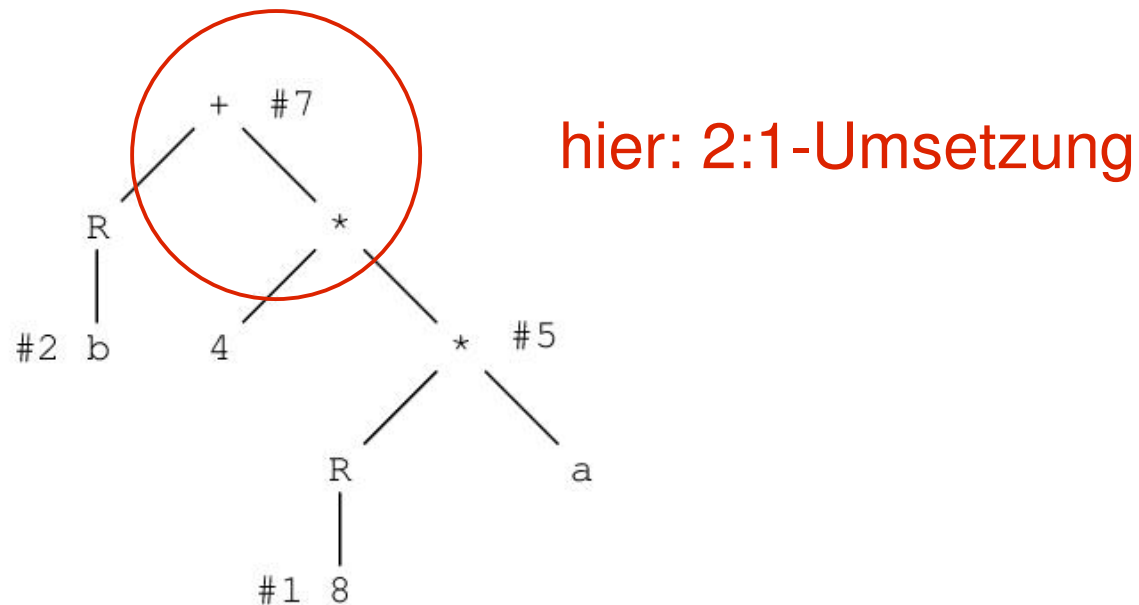


**Figure 4.62** Naive rewrite of the input tree.

Load_Const	8, R1	; 1 unit
Load_Mem	a, R2	; 3 units
Mult_Reg	R2, R1	; 4 units
Load_Const	4, R2	; 1 unit
Mult_Reg	R1, R2	; 4 units
Load_Mem	b, R1	; 3 units
Add_Reg	R2, R1	; 1 unit
Total		= 17 units

**Figure 4.63** Code resulting from the naive rewrite.

# Verwendung komplexer Befehle



**Figure 4.64** Top-down largest-fit rewrite of the input tree.

Load_Const	8, R1	; 1 unit
Mult_Mem	a, R1	; 6 units
Load_Mem	b, R2	; 3 units
Add_Scaled_Reg	4, R1, R2	; 4 units
Total		= 14 units

**Figure 4.65** Code resulting from the top-down largest-fit rewrite.

# Drei-Phasen Algorithmus

- 1. Bottom-Up-Befehlssammlung:** (instruction-collecting scan)
  - bilde Menge möglicher Befehle für jeden Knoten
  - zwei Varianten: sammle alle möglichen Befehle
    - (a) in Itemmengen (dynamisch)
    - (b) mit einem Baumautomaten (statisch)
- 2. Top-Down-Befehlsauswahl:** (instruction-selecting scan)
  - wähle pro Knoten einen Befehl aus seiner Menge
  - abhängig davon, ob bei (1.) Variante (a) oder (b) gewählt
  - Auswahl eines Befehls mit minimalen Kosten
- 3. Bottom-Up-Codeerzeugung:** (code-generating scan)
  - gib die bei (2.) ausgewählten Befehle in korrekter Reihenfolge aus

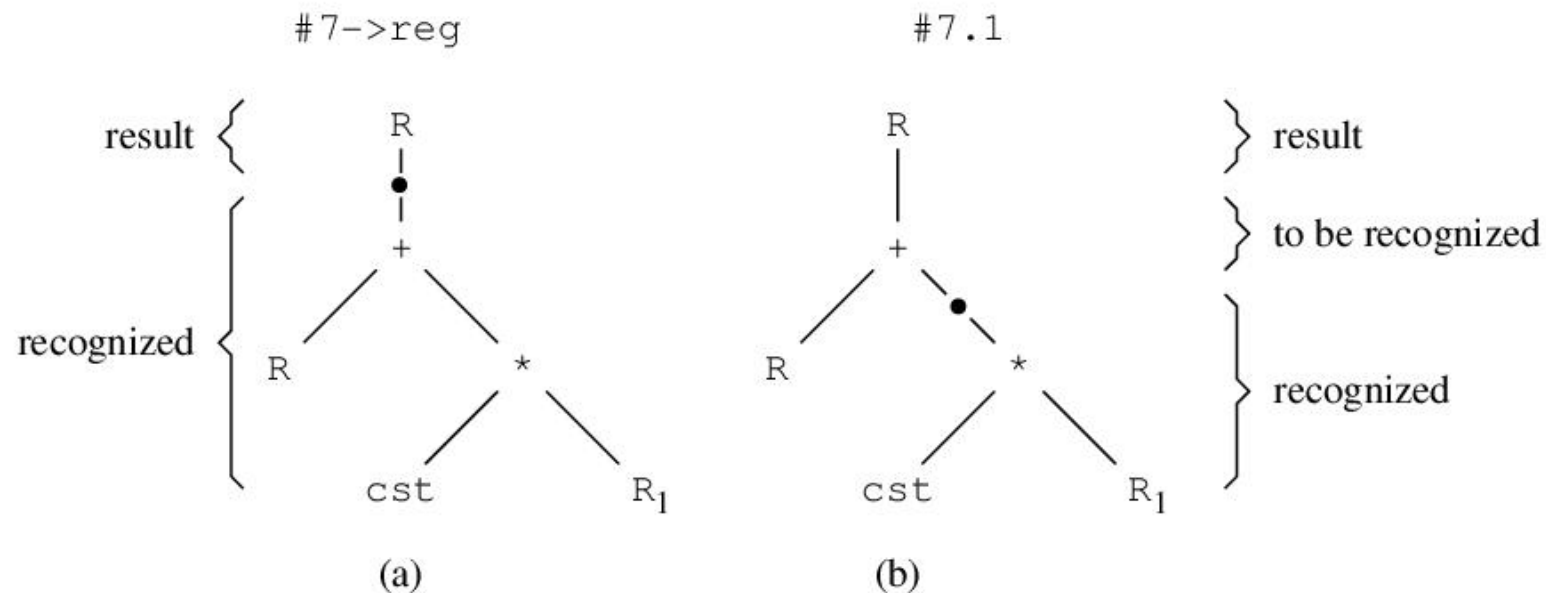


# Phase 1: Befehlssammlung

- **Vorgehen**
  - durchlaufe den Eingabebaum (**IR-Tree**) bottom-up
  - annotiere jeden besuchten Knoten mit den PTs der passenden Maschinenbefehle
- **Match eines PTs gegen einen IR-Knoten  $N$** 
  - Wurzel des PT passt auf  $N$
  - Teilbäume des PTs passen auf Kinder von  $N$
  - Blätter des PTs passen auf die verfügbaren Quellen aus:
    - **mem: Speicher**
    - **cst: Konstante**
    - **reg: Register**

# Dotted Trees

- Visualisierung durch Markierung (“Dotted-Tree”)
  - Marke trennt erkannten von noch nicht erkanntem Teil des PT
- Verwaltung überlappender PTs
  - Unternummerierung (z.B. #7.1 für Teil von PT #7)
  - Unternummer in Menge des Kinds von  $N$ : Teilpattern hat gepasst



**Figure 4.66** The dotted trees corresponding to  $\#7 \rightarrow \text{reg}$  and to  $\#7.1$ .

# Bottom-Up Pattern-Matching (1)

- rekursiver Abstieg (Abb. 4.67)

```
PROCEDURE Bottom_up pattern matching (Node):  
  IF Node is an operation:  
    Bottom_up pattern matching (Node .left);  
    Bottom_up pattern matching (Node .right);  
    SET Node .label set TO Label set for (Node);  
  ELSE IF Node is a constant:  
    SET Node .label set TO Label set for constant ();  
  ELSE Node is a variable:  
    SET Node .label set TO Label set for variable ();
```

## Bottom-Up Pattern-Matching (2)

- Matching von Operatorknoten

```
FUNCTION Label set for (Node) RETURNING a label set:
  SET Label set TO the Empty set;
  FOR EACH Label IN the Machine label set:
    FOR EACH Left label IN Node .left .label set:
      FOR EACH Right label IN Node .right .label set:
        IF Label .operator = Node .operator
          AND Label .operand = Left label .result
          AND Label .second operand = Right label .result:
          Insert Label into Label set;
  RETURN Label set;
```

# Bottom-Up Pattern-Matching (3)

- Matching von Konstanten

```
FUNCTION Label set for constant () RETURNING a label set:
  SET Label set TO
    { (No operator, No location, No location, "Constant") };
  FOR EACH Label IN the Machine label set:
    IF Label .operator = "Load" AND Label .operand = "Constant":
      Insert Label into Label set;
  RETURN Label set;
```

# Bottom-Up Pattern-Matching (4)

- Matching von Speicherstellen

```
FUNCTION Label set for variable () RETURNING a label set:  
  SET Label set TO  
    { (No operator, No location, No location, "Memory") };  
  FOR EACH Label IN the Machine label set:  
    IF Label .operator = "Load" AND Label .operand = "Memory":  
      Insert Label into Label set;  
  RETURN Label set;
```

# Bottom-Up Pattern-Matching (5)

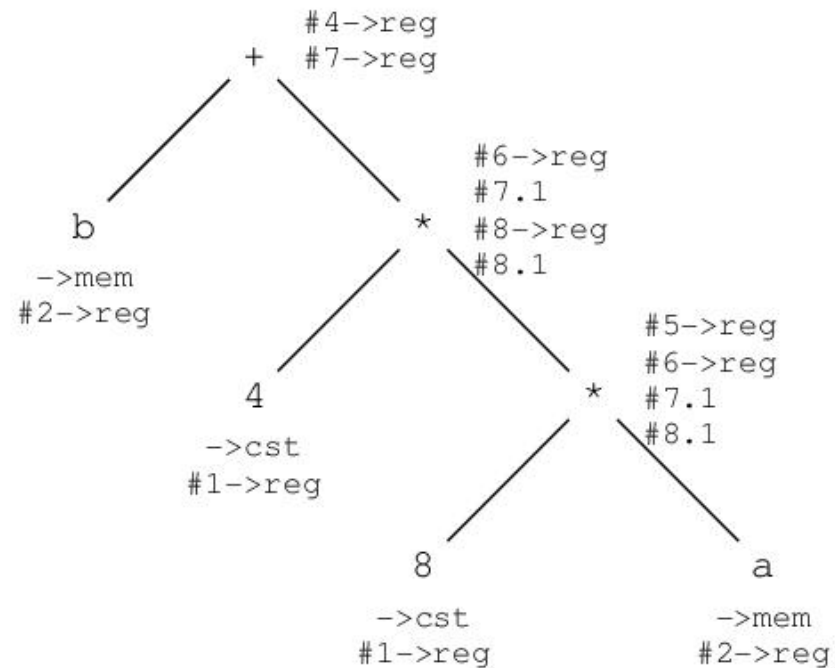
- Typ der Knoteninformation

```
TYPE operator: "Load", '+', '*';
TYPE location: "Constant", "Memory", "Register", a label;
TYPE label: // a node in a pattern tree
  an operator FIELD operator;
  a location FIELD operand;
  a location FIELD second operand;
  a location FIELD result;
```

**Figure 4.68** Types for bottom-up pattern recognition in trees.

# Markierung des Beispiel-Eingabebaums (1)

- Aufsammeln aller Möglichkeiten



**Figure 4.69** Label sets resulting from bottom-up pattern matching.



# Markierung des Beispiel-Eingabebaums (2)

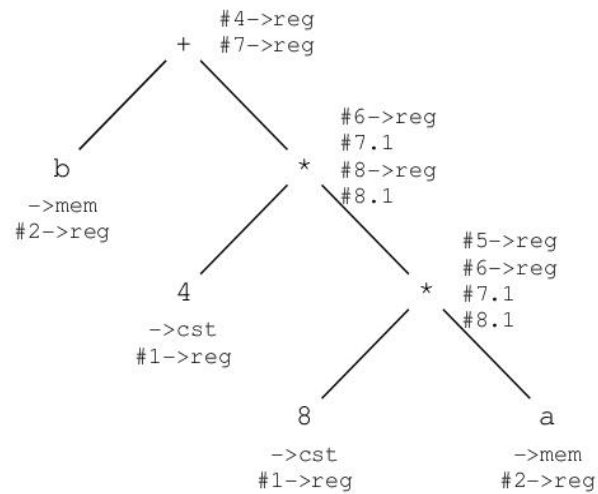


Figure 4.69 Label sets resulting from bottom-up pattern matching.

- Beispielbäume sind darin enthalten:

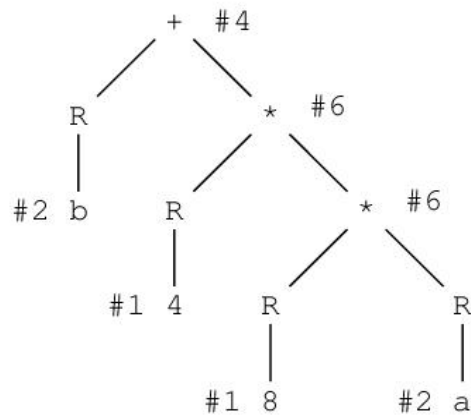


Figure 4.62 Naive rewrite of the input tree.

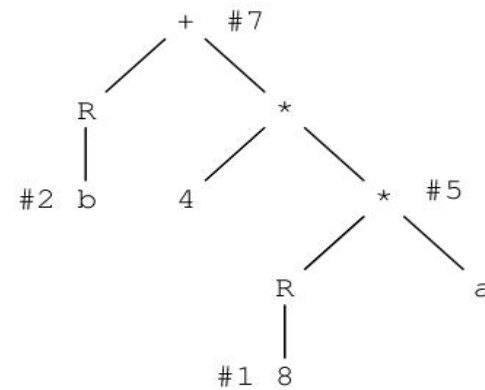


Figure 4.64 Top-down largest-fit rewrite of the input tree.

# Befehlssammlung / (Un-)Vollständigkeit

- Erfolg nicht garantiert
  - unmarkierte Knoten  $\Rightarrow$  keine Ersetzungsalternative
  - BURS nicht vollständig: findet nicht solche Lösungen, bei denen ein IR-Knoten durch mehrere Maschinenbefehle implementiert werden muss
- in der Praxis kein Problem
  - Existenz vieler kleiner Maschinenbefehle (für 1:1-Umsetzung von Operatoren in Ausdrücken)
  - komplizierte AST-Knoten (z.B. Matrixmultiplikation) werden in Routinenaufruf umgewandelt  $\Rightarrow$  erscheinen nicht in IR-Trees
  - bei extrem simplem Prozessor: Assemblerroutine

# Befehlssammlung / Komplexität

- Speicher-/Zeitkomplexität

- linear in der Knotenzahl des Eingabebaums (unkritisch)
- linear in der Anzahl aller möglichen und unmöglichen Kombinationen Befehle / Adressierungsarten (sehr ineffizient)

- Effizienzsteigerung

- Ziel: Komplexität unabhängig vom Befehlssatz
- Erstellung eines Baum(!)-Automaten
- jede Kombination ergibt einen Zustand
- dreidimensionale Zustandsübergangstabelle
  1. IR-Tree-Operator
  2. Zustand des linken Teilbaums
  3. Zustand des rechten Teilbaums
- Kompression der Übergangstabelle: wichtig und gut möglich

# Verwendung von Zustandsmengen

- Befehlssammlung durch Baumautomaten
- Berechnung jeder Knotenmenge einfach durch Tabellen-Lookup

```
PROCEDURE Bottom_up pattern matching (Node):
  IF Node is an operation:
    Bottom_up pattern matching (Node .left);
    Bottom_up pattern matching (Node .right);
    SET Node .state TO Next state
      [Node .operand, Node .left .state, Node .right .state];
  ELSE IF Node is a constant:
    SET Node .state TO State for constant;
  ELSE Node is a variable:
    SET Node .state TO State for variable;
```

**Figure 4.70** Outline code for efficient bottom-up pattern matching in trees.

# Drei-Phasen Algorithmus, Phasen 2 und 3

1. Bottom-Up-Befehlssammlung: (instruction-collecting scan)
  - bilde Menge möglicher Befehle für jeden Knoten
  - zwei Varianten: sammle alle möglichen Befehle
    - (a) in Itemmengen (dynamisch)
    - (b) mit einem Baumautomaten (statisch)
2. Top-Down-Befehlsauswahl: (instruction-selecting scan)
  - wähle pro Knoten einen Befehl aus seiner Menge
  - abhängig davon, ob bei (1.) Variante (a) oder (b) gewählt
  - Auswahl eines Befehls mit minimalen Kosten
3. Bottom-Up-Codeerzeugung: (code-generating scan)
  - gib die bei (2.) ausgewählten Befehle in korrekter Reihenfolge aus

## Phase 2: Top-Down Befehlsauswahl

- Entscheidung

(a) zwingend in einem Pattern (z.B. Wahl #8 bedingt #8.1)

(b) sonst: wähle minimale *zulässige* Alternative

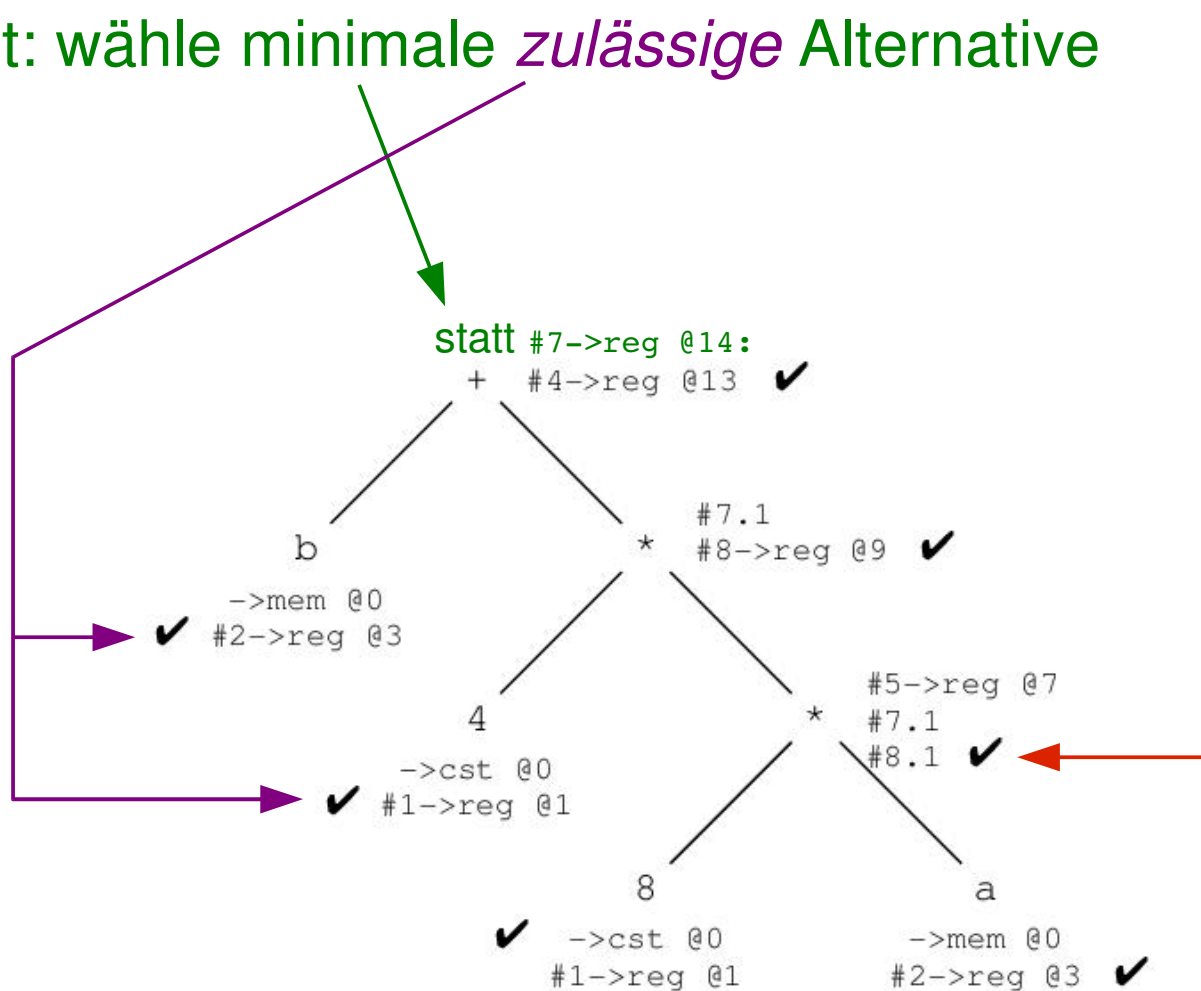
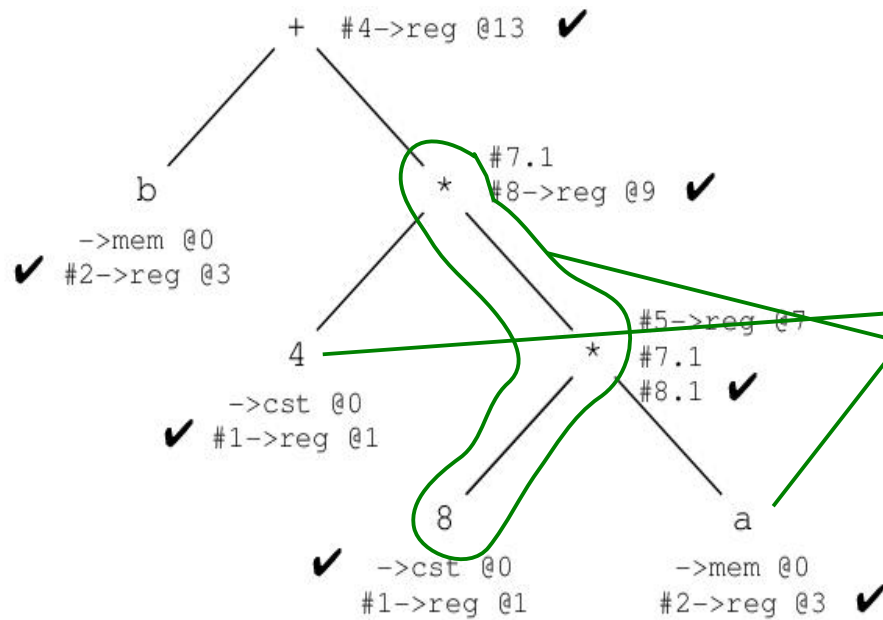


Figure 4.71 Bottom-up pattern matching with costs.

# Phase 3: Bottom-Up Codegenerierungs-Scan



Load_Mem	a, R1	; 3 units
Load_Const	4, R2	; 1 unit
Mult_Scaled_Reg	8, R1, R2	; 5 units
Load_Mem	b, R1	; 3 units
Add_Reg	R2, R1	; 1 unit
Total		= 13 units

**Figure 4.71** Bottom-up pattern matching with costs.

**Figure 4.72** Code generated by bottom-up pattern matching.

# Ausnutzung von Kommutativität

```
Load_Mem      a,R1      ; 3 units
Load_Const    4,R2      ; 1 unit
Mult_Scaled_Reg 8,R1,R2 ; 5 units
Load_Mem      b,R1      ; 3 units
Add_Reg       R2,R1     ; 1 unit
Total        = 13 units
```

**Figure 4.72** Code generated by bottom-up pattern matching.

---

```
Load_Mem      a,R1      ; 3 units
Load_Const    4,R2      ; 1 unit
Mult_Scaled_Reg 8,R1,R2 ; 5 units
Add_Mem       b,R2    ; 3 units
Total        = 12 units
```

**Figure 4.73** Code generated by bottom-up pattern matching, using commutativity.



# Effiziente Befehlsauswahl

- **Komplexitätsproblem bei der Top-Down Befehlsauswahl**
  - rekursive Suche nach minimaler Lösungskombinationen für Teilprobleme
  - exponentielle Komplexität in der Baumtiefe
  - ineffiziente Mehrfachberechnungen
- **Lösung**
  - Tabulierung (Wiederverwendung berechneter Teilergebnisse)
  - bewährtes Programmierparadigma: **Dynamic Programming**
    - Bottom-Up-Vorbereitung (Integration in Befehlssammlung)
    - schnelle lokale Befehlsauswahl

# Integration: Optimierung in Befehlssammlung

## • Idee

- integriere Optimierung in den Baumautomaten für die Befehlssammlung
- Zustände müssen Kosteninformation tragen
- erwartete Beschleunigung: Faktor 10-100
- Voraussetzung: Kosten der Maschinenbefehle sind konstant

## • Probleme

1. absolute Kosten sind unbeschränkt
  - ⇒ unbeschränkte Markierungsmengen
  - ⇒ unbeschränkte Anzahl von Zuständen
  - ⇒ kein endlicher Automat möglich
2. welche Kosten teilweise gematchten Pattern-Trees zuweisen?

# Lösung der Probleme

## 1. unbeschränkte absolute Kosten

- absoluter Wert ist für Auswahl irrelevant
- Verwendung relativer Kosten,  
⇒ Normalisierung der kleinsten Kosten auf 0

## 2. Kosten für teilweise gematchten Pattern-Trees

- Operatorkosten für Teilbefehl unsinnig  
⇒ werden als 0 festgelegt, d.h., es gehen nur die Kosten der Teilbäume in die Normalisierung ein

# Tabellenerstellung am Beispiel

## • Anfangszustände

- $S_1$ :  
    {            → cst @0 ,  
      #1        → reg @1 }
- $S_2$ :  
    {            → mem @0 ,  
      #2        → reg @3 }

## • Zustandsübergänge (Auswahl, mit normalisierten Kosten)

- $\text{state}['+', S_1, S_1] = S_3$ : { #4        → reg @0 }
- $\text{state}['+', S_1, S_2] = S_5$ : { #3        → reg @0 }
- $\text{state}['+', S_1, S_4] = S_9$ : { #7        → reg @0 }
- $\text{state}['*', S_1, S_2] = S_6$ : { #5        → reg @4 ,  
                                  #7.1            @0 ,  
                                  #8.1            @0 }

# Zustandsmenge des Automaten

```
S00 = { }  
S01 = {→cst@0, #1→reg@1}  
S02 = {→mem@0, #2→reg@3}  
S03 = {#4→reg@0}  
S04 = {#6→reg@5, #7.1@0, #8.1@0}  
S05 = {#3→reg@0}  
S06 = {#5→reg@4, #7.1@0, #8.1@0}  
S07 = {#6→reg@0}  
S08 = {#5→reg@0}  
S09 = {#7→reg@0}  
S10 = {#8→reg@1, #7.1@0, #8.1@0}  
S11 = {#8→reg@0}  
S12 = {#8→reg@2, #7.1@0, #8.1@0}  
S13 = {#8→reg@4, #7.1@0, #8.1@0}
```

**Figure 4.74** States of the BURS automaton for Figure 4.60.

```
cst: S01  
mem: S02
```

**Figure 4.75** Initial states for the basic operands.

- 3D-Übergangstabelle für Befehlssammlung mit Optimierung:

'+'	S <sub>01</sub>	S <sub>02</sub>	S <sub>03</sub>	S <sub>04</sub>	S <sub>05</sub>	S <sub>06</sub>	S <sub>07</sub>	S <sub>08</sub>	S <sub>09</sub>	S <sub>10</sub>	S <sub>11</sub>	S <sub>12</sub>	S <sub>13</sub>
S <sub>01</sub>													
-	S <sub>03</sub>	S <sub>05</sub>	S <sub>03</sub>	S <sub>09</sub>	S <sub>03</sub>	S <sub>09</sub>	S <sub>03</sub>	S <sub>03</sub>	S <sub>03</sub>	S <sub>03</sub>	S <sub>03</sub>	S <sub>03</sub>	S <sub>09</sub>
S <sub>13</sub>													

'*'	S <sub>01</sub>	S <sub>02</sub>	S <sub>03</sub>	S <sub>04</sub>	S <sub>05</sub>	S <sub>06</sub>	S <sub>07</sub>	S <sub>08</sub>	S <sub>09</sub>	S <sub>10</sub>	S <sub>11</sub>	S <sub>12</sub>	S <sub>13</sub>
S <sub>01</sub>	S <sub>04</sub>	S <sub>06</sub>	S <sub>04</sub>	S <sub>10</sub>	S <sub>04</sub>	S <sub>12</sub>	S <sub>04</sub>	S <sub>04</sub>	S <sub>04</sub>	S <sub>04</sub>	S <sub>04</sub>	S <sub>13</sub>	S <sub>12</sub>
S <sub>02</sub>													
-	S <sub>07</sub>	S <sub>08</sub>	S <sub>07</sub>	S <sub>11</sub>	S <sub>07</sub>	S <sub>11</sub>	S <sub>07</sub>	S <sub>07</sub>	S <sub>07</sub>	S <sub>07</sub>	S <sub>07</sub>	S <sub>11</sub>	S <sub>11</sub>
S <sub>13</sub>													

Figure 4.76 The transition table Cost conscious next state[ ].

- Tabelle für Befehlsauswahl:

	S <sub>01</sub>	S <sub>02</sub>	S <sub>03</sub>	S <sub>04</sub>	S <sub>05</sub>	S <sub>06</sub>	S <sub>07</sub>	S <sub>08</sub>	S <sub>09</sub>	S <sub>10</sub>	S <sub>11</sub>	S <sub>12</sub>	S <sub>13</sub>
cst		--	--	--	--	--	--	--	--	--	--	--	--
mem	--	--	--	--	--	--	--	--	--	--	--	--	--
reg	#1	#2	#4	#6	#3	#5	#6	#5	#7	#8	#8	#8	#8

Figure 4.77 The code generation table.

- annotierter IR-Tree:

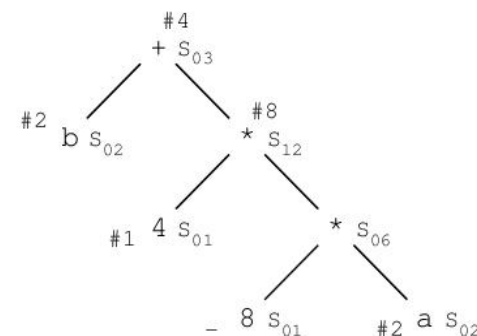


Figure 4.78 States and instructions used in BURS code generation.

# Adaptionen des BURS-Verfahrens

- mehrere Registerklassen

- z.B. A-Register für Adressberechnungen, B-Register nicht
- differenziere Marken nach `regA` und `regB`

- Codegröße entscheidet bei gleichen (Laufzeit-)Kosten

- Alternativen mit gleichen Kosten kommen oft vor
- neue Kostenfunktion: das Paar (Laufzeit, Codegröße) mit der lexikographischen Ordnung

- Codegröße wichtiger als Laufzeit

- invertiere Paar: (Codegröße, Laufzeit)

# Zusammenfassung der Entwicklung

- 3-Phasen-Verfahren

1. Bottom-Up Befehlssammlung
2. Top-Down Befehlsauswahl, Kosten-minimierend
3. Bottom-Up Codegenerierungs-Scan

- Optimierung A: Tabelle

- Bottom-Up Befehlssammlung als Zustandsübergangsfunktion

- Optimierung B: Dynamic Programming

- Reduktion der Befehlssammlung an jedem Knoten auf den Befehl kleinster Kosten plus evtl. Teilpattern
- Bottom-Up-Prozess zusammen mit der Sammlung

- Optimierungen A+B:

- Integration der Kosten in die Zustände
- notwendig: Normalisierung der absoluten Kosten